

DOI: 10.11931/guihaia.gxzw202112063

羽健宾, 郭丽君, 张静, 等, 2023. 粉葛 *PtCHI* 基因的克隆、原核表达和亚细胞定位 [J]. 广西植物, 43(2): 315–326.
YU JB, GUO LJ, ZHANG J, et al., 2023. Cloning, prokaryotic expression and subcellular localization of *PtCHI* gene from *Pueraria montana* var. *thomsonii* [J]. Guihaia, 43(2): 315–326.



粉葛 *PtCHI* 基因的克隆、原核表达和亚细胞定位

羽健宾^{1,2}, 郭丽君¹, 张 静¹, 肖 冬¹, 何龙飞¹, 王爱勤^{1*}

(1. 广西大学 农学院, 南宁 530004; 2. 华南农业大学 生命科学学院, 广州 510642)

摘要: 为探究葛根品种间异黄酮类物质代谢关键酶基因 *PtCHI* 的分子机制差异, 并揭示其品种间异黄酮物质含量差异的原因, 该研究以野葛品种‘桂葛 8 号’和粉葛品种‘桂葛 1 号’为材料, 经乙醇提取并通过高效液相色谱仪对野葛和粉葛中葛根素和总黄酮的含量进行测定, 基于已报道的野葛 *CHI* 基因, 通过同源克隆方法分离粉葛中 *PtCHI* 基因, 并在体外进行蛋白表达, 同时在拟南芥原生质体中研究 *PtCHI* 基因的定位。结果表明: (1) 野葛中的葛根素含量显著高于粉葛的, 野葛的总黄酮含量也高于粉葛但未达到显著水平。(2) 成功分离到粉葛 *PtCHI* 基因, 长度为 742 bp 且包含 672 bp 完整的 ORF 框, 编码 223 个氨基酸, 与野葛的 *CHI* 基因具有 99% 的同源性。(3) *CHI* 基因在粉葛中的表达量为茎>根>叶子, 在野葛中则为根>茎>叶子, 除叶子外野葛中 *CHI* 基因的表达量均显著高于粉葛。(4) 经预测, 粉葛 *PtCHI* 蛋白为稳定的亲水性蛋白且大小为 27.8 kD, 二、三级结构以 α -螺旋为主, 具有 25 个磷酸化位点, 与野葛、大豆和乌拉尔甘草的亲缘关系较近, 与 F3H2、F3H、4CL4、DFR2 及 CHS 发生互作的可能性较大。(5) 在体外成功诱导并分离到 27.8 kD 的 *PtCHI* 单一蛋白。(6) 通过拟南芥原生质体进一步揭示 *PtCHI* 主要定位在叶绿体。该研究结果进一步解析了粉葛和野葛中黄酮类物质含量的差异问题, 为 *PtCHI* 的功能验证和异黄酮代谢途径机理研究提供了参考。

关键词: 粉葛, *PtCHI*, 克隆, 原核表达, 亚细胞定位

中图分类号: Q943 文献标识码: A 文章编号: 1000-3142(2023)02-0315-12

Cloning, prokaryotic expression and subcellular localization of *PtCHI* gene from *Pueraria montana* var. *thomsonii*

YU Jianbin^{1,2}, GUO Lijun¹, ZHANG Jing¹, XIAO Dong¹, HE Longfei¹, WANG Aiqin^{1*}

(1. College of Agriculture, Guangxi University, Nanning 530004, China; 2. College of Life Sciences, South China Agricultural University, Guangzhou 510642, China)

Abstract: In order to explore the differences in the molecular mechanism of the *Pueraria* cultivars between isoflavone metabolic enzyme gene *PtCHI*, and to preliminarily reveal the difference content causes of the isoflavones. The materials of the study were *Pueraria montana* var. *lobata* and *P. montana* var. *thomsonii*. Puerarin and total flavonoids of *P. montana* var. *lobata* and *P. montana* var. *thomsonii* were extracted by ethanol, and their contents were measured by high-

收稿日期: 2022-04-29

基金项目: 国家自然科学基金(81860670); 国家现代农业产业技术体系-广西薯类创新团队首席专家项目(nycytxgxcxtd-11-01)。

第一作者: 羽健宾(1993-), 博士研究生, 研究方向为药用植物次级代谢产物调控,(E-mail)ybb1129@126.com。

*通信作者: 王爱勤, 博士, 教授, 主要从事药用植物的栽培与调控研究,(E-mail)waiqing1966@126.com。

performance liquid chromatography. Based on the reported *CHI* gene of *Pueraria montana* var. *lobata*, the *PtCHI* gene from *P. montana* var. *thomsonii* was isolated by homologous cloning method, and the protein was expressed *in vitro*. At the same time, the location of the *PtCHI* gene was studied in *Arabidopsis thaliana* protoplasts. The results were as follows: (1) The content of puerarin in *P. montana* var. *lobata* was significantly higher than the *P. montana* var. *thomsonii*, and the content of total flavonoids was also higher but not significant. (2) The gene *PtCHI* was successfully isolated from *P. montana* var. *thomsonii*. The gene was 742 bp in length, containing a complete ORF frame of 672 bp, encoding 223 amino acids, and had up to 99% homology with *P. montana* var. *lobata*. (3) This study found that the expression of *CHI* gene in *P. montana* var. *thomsonii* was stem>root>leaf, *P. montana* var. *lobata* was root>stem>leaf. The expression of *CHI* gene from *P. montana* var. *lobata* was significantly higher than *P. montana* var. *thomsonii* besides in leaves. (4) Through the online tool prediction analysis, *PtCHI* was found to be stable hydrophilic protein and the size was 27.8 kD. The secondary and tertiary structures were based on α -helix, with 25 phosphorylation sites, closely relating *P. montana* var. *lobata*, *Glycine max* and *Glycyrrhiza uralensis*, and were more likely to interact with F3H2, F3H, 4CL4, DFR2 and CHS. (5) At the same time, the protein of *PtCHI* was successfully induced and isolated *in vitro*, with a single protein of 27.8 kD. (6) Through the *Arabidopsis thaliana* protoplasts revealed that *PtCHI* was mainly located in the chloroplasts. This study further analyzed the difference in flavonoids in *P. montana* var. *lobata* and *P. montana* var. *thomsonii*, as well as provides the reference for the functional verification of *P. montana* var. *thomsonii* *PtCHI* and the research on the mechanism of isoflavone metabolism.

Key words: *Pueraria montana* var. *thomsonii*, *PtCHI*, cloning, prokaryotic expression, subcellular localization

粉葛(*Pueraria montana* var. *thomsonii*)为豆科蝶形花亚科葛属藤本植物,茎基部木质且具有肥厚的块状根,在我国广泛分布(中国植物志,1995)。其主要活性成分包括异黄酮类化合物葛根素、大豆昔元、染料木素和异甘草素等,以及皂苷类物质皂角精醇、槐二醇和大豆昔醇等(楚纪明等,2015)。另外,粉葛中还富含维生素C、蛋白质、还原糖、淀粉和膳食纤维等营养成分(李桂花等,2021)。粉葛作为“药食同源”作物,因其淀粉含量高而常被加工成葛根粉、葛根薯片、葛根糕、葛根酒等系列商品,前人研究表明粉葛具有解热、抗病毒、降血糖血脂血压、保肝护肝、抗肿瘤、改善肾功能等作用(尚小红等,2021;于钦辉等,2021)。

查尔酮异构酶(chalcone isomerase, CHI)是异黄酮代谢途径中的一个关键酶,其酶活对植物体内黄酮的积累起到重要作用,从而对植物的抗逆、花色等存在关联(李琳玲等,2008;周发俊等,2008)。*CHI*是个超基因家族,现主要分为Type I、Type II和Type III三个类型,大部分植物的*CHI*基因属于Type I, Type II一般只存在于豆科植物且该类型由Type I演化而来, Type III主要为真菌和细菌中的类*CHI*蛋白家族(张党权等,2007;梁瓴婕,2016)。目前,*CHI*基因已在多种植物中被成功分离并做了功能验证。梁瓴婕(2016)在体外成功分离到香雪兰的

FhCHI1、*FhCHI2*、*FhCHI3*、*FhCHI4*、*FhCHI5*蛋白,并通过酶活检测得出*FhCHI2*和*FhCHI5*具有活性,能催化柚皮素查尔酮形成柚皮素,而*FhCHI3*、*FhCHI4*没有活性;同时,在拟南芥中异源表达*FhCHI1*、*FhCHI2*、*FhCHI5*能恢复*CHI*突变体拟南芥的花色苷和黄酮醇代谢,并能使植株幼苗的生长点恢复为紫色、种皮颜色变回棕色;而*FhCHI3*、*FhCHI4*则不能恢复突变体的表型及花色苷和黄酮醇代谢。郭晋雅(2011)将紫心甘薯*IbCHI*基因转化至拟南芥(tt5)中,发现紫心甘薯*IbCHI*基因能使突变体拟南芥(tt5)种皮颜色由浅黄色恢复到野生型的深棕褐色;强光处理下突变体植株的叶片荧光参数Fv/Fm和Yield迅速降低,而转*IbCHI*的植株和野生型植株变化较慢,表明*IbCHI*能使突变体恢复至与野生型植株一样的抵抗强光的效果;干旱处理后突变体植株萎蔫,而转*IbCHI*的植株和野生型植株的枯萎程度较低。何则铭(2011)的研究结果表明在NaCl(150 mmol·L⁻¹)处理下,过表达*GmCHI4A*和*GmCHI4B*的大豆发状根耐盐性高于对照,并且转基因株系中的*GmSOD1*和*GmSOS1*表达量以及发状根中的异黄酮含量显著高于对照。郭丹丹(2019)研究表明红花*CtCHI1*基因定位于细胞核中。李红艳(2019)研究发现丹参*SmCHI*基因不仅定位在烟草表皮细胞的高尔基体、质膜和细胞核上,而且在内

质网、过氧化物酶体和质体上也检测到荧光。因此, *CHI* 基因在细胞中的定位是多样化的, 并且同为 *CHI* 基因在不同物种中的定位存在差异。

基于本研究的前期研究结果, 即在野葛和粉葛中葛根素及总黄酮的含量存在显著差异, 并根据前人在其他物种中发现查尔酮异构酶是黄酮代谢途径中的关键酶且在黄酮类化合物合成中起重要作用, 同时依托 Terai 等 (1996) 在野葛 (*Pueraria montana* var. *lobata*) 中成功克隆到一个长 756 bp 的 *CHI* 基因, 该基因包含长 675 bp 的 ORF 框, 编码 225 个氨基酸, 蛋白大小 23 803 Da。因此, 本研究通过同源克隆的方法, 用 IPTG 体外诱导和分离蛋白, 同时通过拟南芥原生质体, 拟探讨以下问题: (1) *CHI* 基因在粉葛和野葛中是否存在差异; (2) *CHI* 基因在野葛和粉葛中的表达量情况; (3) *CHI* 基因在细胞中的定位。本研究结果将为野葛与粉葛中葛根素含量和总黄酮含量差异的探讨提供信息, 同时为进一步解析 *PtCHI* 基因在粉葛中调控黄酮类化合物积累的机制研究奠定基础。

1 材料与方法

1.1 材料

供试材料为广西大学农学院薯类课题组选育, 经王爱勤教授鉴定为食用型粉葛 (*Pueraria montana* var. *thomsonii*) ‘桂葛 1 号’ 和药食兼用型野葛 (*P. montana* var. *lobata*) ‘桂葛 8 号’ 品种, 2016 年种植于广西大学农学院教学科研基地。

1.2 粉葛与野葛的葛根素和总黄酮的含量检测

称取葛根粉样品 0.1 g 置于盛有 50 mL 30% 乙醇的锥形瓶中, 用保鲜膜封口并称重后于 250 W 下超声 30 min, 待室温冷却后再称重, 用 30% 乙醇补足失去的重量, 过滤后吸取 5 mL 滤液于 25 mL 容量瓶且用 30% 乙醇定容, 即为 20 $\mu\text{g} \cdot \text{mL}^{-1}$ 的葛根素提取液。流动相为 $V(\text{甲醇}) : V(0.1\% \text{ 醋酸水}) = 30 : 70$, 流速为 1.0 $\text{mL} \cdot \text{min}^{-1}$, 检测波长为 250 nm。

葛根总黄酮的提取和检测均参照李增富和吴荣锋 (2008) 的方法。

1.3 粉葛 *PtCHI* 基因的克隆和表达量检测

提取‘桂葛 1 号’的总 RNA, 并获得 cDNA, 用表 1 中引物 PtCHI-F、PtCHI-R 进行 PCR 扩增, 纯化后连接到 pMD-19 T 载体, 转入 DH5 α 感受态细胞, 挑选菌液扩增后将有特异条带的菌液送往生

物公司测序, 在 DNAMAN 软件中进行序列比对并完成克隆。用表 1 中引物 PtCHI-DLF、PtCHI-DLR 对野葛和粉葛的 *CHI* 基因做表达量检测。

1.4 粉葛 *PtCHI* 基因的生物信息学分析

利用在线工具 NCBI 中的 ORF Finder 找到基因的开放阅读框; 利用在线工具 ProtParam 预测蛋白的理化性质; 利用在线工具 SOPMA、SWISS-MODEL 及 WoLF PSORT 分别进行蛋白二级、三级结构预测和亚细胞定位的预测; 经 NetPhos 3.1 Server 在线预测磷酸化位点; 利用 STRING 软件, 以大豆蛋白数据库分析蛋白之间的互作关系; 利用 MEGA 7.0 软件构建系统进化树。

1.5 原核表达及 Western blot 检测

用表 1 中的引物 PtCHI-YHF、PtCHI-YHR 将克隆完成的目的基因的 ORF 框纯化后与线性化载体 pet-28a 相连得到重组子 pet28a-*PtCHI*。用 IPTG 诱导后, 经 SDS-PAGE 电泳分析后为可溶性表达的蛋白, 根据亲和层析原理, 使用 Protein Ni-NTA Resin 进行镍柱纯化。对纯化后的蛋白进行 Western blot 检测, 使用的一抗为抗 His 标签鼠单克隆抗体, 二抗为山羊抗小鼠 IgG (H+L)。

1.6 亚细胞定位

用表 1 中的引物 PtCHI-YXBF、PtCHI-YXBR 将克隆完成的目的基因的 ORF 框纯化后与线性化载体 pSAT6-EYFP-N1 相连得到 pSAT6-EYFP-N1-*PtCHI* 重组质粒。选取苗龄在 25 d 的拟南芥幼嫩叶片, 通过酶 (25% Cellulase R10 和 0.3% Mecerzyme R10) 消化已切成细条的拟南芥叶片 3~4 h, 经尼龙膜过滤后用洗涤液洗涤获取拟南芥原生质体; 通过与原生质体和质粒总体积相等的 20% PEG4000 进行转化, 转化结束后转移至 96 孔板中培养, 待其培养结束即可制片, 在共聚焦显微镜下采集图像。

2 结果与分析

2.1 粉葛和野葛的葛根素和总黄酮的含量测定

由图 1 可知, 野葛‘桂葛 8 号’中的葛根素含量显著高于粉葛品种(‘桂葛 1 号’)且是粉葛品种的 3.5 倍左右, 野葛‘桂葛 8 号’的总黄酮含量也高于粉葛品种但差异不显著。

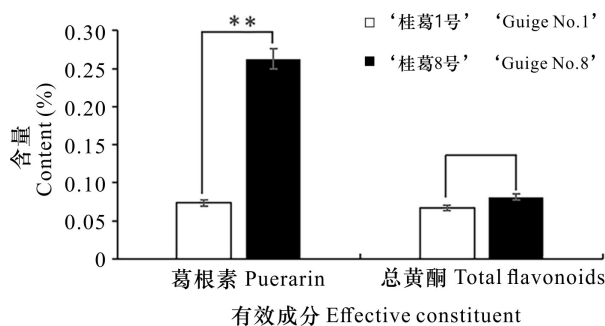
2.2 粉葛 *PtCHI* 基因的克隆与表达量分析

根据已报道的野葛 *CHI* 基因序列设计引物,

表 1 表达载体构建的特异引物

Table 1 Specific primers for expression vector construction

引物名称 Primer name	引物序列 Primer sequence
PtCHI-F	GATCGAAACCCCTTAATTCA
PtCHI-R	ATCACTTCCCTCAACTCAG
PtCHI-DLF	CAGCAGCAGTAGCAACCATC
PtCHI-DLR	CGACTGATGACACCGCTTTA
PtCHI-YHF	cagcaaatgggtcgccgatcc ATGGCCGCAGCAGCAGCA
PtCHI-YHR	gtgggggggtggctcgag GACTATAATGCCGTGGCTAACATAC
PtCHI-YXBF	ggtcggactcagatctcgag CATGGCCGCAGCAGCAGCA
PtCHI-YXBR	geteaccataggatccggg GACTATAATGCCGTGGCTAACATAC



** 表示在 0.01 水平上差异显著。

** indicates significant difference at 0.01 level.

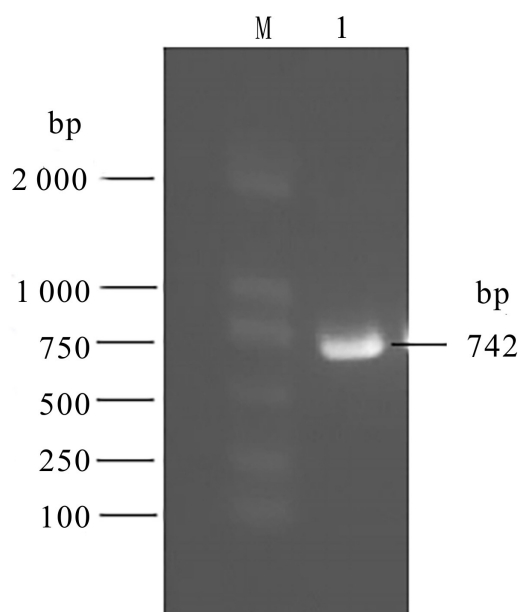
图 1 葛根素和总黄酮的含量

Fig. 1 Contents of puerarin and total flavonoids

以粉葛品种‘桂葛 1 号’的叶片 cDNA 为模板, 克隆到 *PtCHI* 基因片段(图 2)。该 cDNA 核苷酸序列长 742 bp, 具有一个长 672 bp 的完整开放阅读框, 启动子 ATG 位于 55 bp, 终止子 TGA 位于 726 bp, 推导编码 223 个氨基酸(图 3)。经 NCBI 网站 blast 比对, 所克隆的片段与野葛的 *CHI* 基因编码的蛋白具有 99% 的同源性。*CHI* 基因表达量结果显示, *CHI* 基因在野葛品种‘桂葛 8 号’中的表达量为根>茎>叶, 而在粉葛品种‘桂葛 1 号’中的则为茎>根>叶; 除叶片外, 野葛品种‘桂葛 8 号’中 *CHI* 基因的表达量均显著高于粉葛品种(图 4)。

2.3 粉葛 *PtCHI* 蛋白生物信息学分析

2.3.1 *PtCHI* 蛋白理化性质及亚细胞定位预测 理化性质预测结果表明, *PtCHI* 蛋白由 224 个氨基酸组成, 相对分子质量为 27.8 kD, 理论等电点(pI)



M. DL2000 DNA 标记; 1. *PtCHI* 基因的 PCR 扩增产物。
M. DL2000 DNA Marker; 1. PCR product of *PtCHI* gene.

图 2 粉葛 *PtCHI* 基因的 PCR 扩增Fig. 2 PCR amplification of *PtCHI* gene from *Pueraria montana* var. *thomsonii*

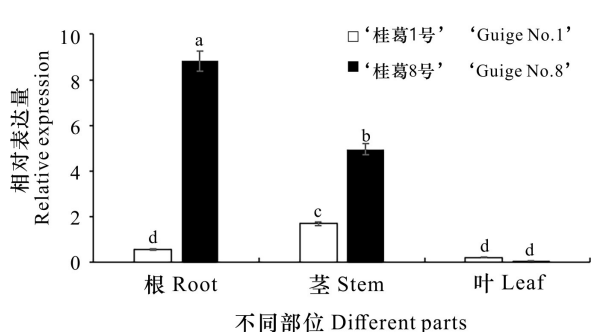
为 5.34, 不稳定指数为 32.25, 属于稳定蛋白, 脂肪族指数为 95.40。*PtCHI* 蛋白中带负电荷残基占氨基酸总数的 12.05%, 而带正电荷残基为 9.82%, 推测该蛋白带负电。亚细胞定位预测结果显示, 定位在细胞质的可能性达 64.28%, 其次是叶绿体为 14.28%, 而定位于细胞核、线粒体和高尔基体的几率为 7.14%。

2.3.2 *PtCHI* 二、三级结构预测 通过 SOPMA 在线工具对 *PtCHI* 蛋白二级结构进行预测分析, 结果显示该蛋白二级结构的形式及所占比例分别是 α -螺旋最高(48.66%); 其次是无规则卷曲和延伸链这两种二级结构(分别为 24.11%、17.41%), 而 β -转角占比最低(9.82%)(图 5)。通过 SWISS-MODEL 在线工具预测 *PtCHI* 蛋白三级结构发现, 该蛋白的结构也包括 α -螺旋、延伸链、 β -转角和无规则卷曲, 其中以 α -螺旋居多, 这与二级结构预测结果相符(图 6)。

2.3.3 *PtCHI* 磷酸化位点预测 通过 NetPhos 3.1 Server 在线预测 *PtCHI* 磷酸化位点, 结果显示该蛋白主要存在 25 个磷酸化位点, 其中发生磷酸化可能性最大的是位于 106 位和 167 位的丝氨酸, 得

1 GATCGAAACCTTAATTCACTTGGGTGTTAATAATAGTAAAGAGTGTGAGA
 55 ATGGCGGCAGCAGCAGTAGCAACCACATCAGCGCTGTCAGGTGGAGTTCCCTGAGTTCCCACCGGTGGTTACT
 M A A A A V A T I S A V Q V E F L E F P A V V T 24
 127 TCACCAAGCCTCCGGCAGGACCTATTCCTCGCCGGCCAGGGGAGAGAGGATTGACCATGAGGGAAAGTTC
 S P A S G R T Y F L G G A G E R G L T I E G K F 48
 199 ATAAAGTTCACAGGCATAGGAGTATACTGGAGGATAAGCGGTGTCATCACTGCCGCTAACGTGGAAGGGT
 I K F T G I G V Y L E D K A V S S L A A K W K G 72
 271 AAGCCTCCGAGGAGCTGGTGGAGACCCCTGACTTCTACAGGGATATCATTCAAGGGCGTTGAAAAGCTA
 K P S E E L V E T L D F Y R D I I S G P F E K L 96
 343 ATTAGAGGTGCAAGATTCTGCCATTGCTGGGTGGAATACTCAAAGAAGGTGATGCAAAACTGCGTGGCA
 I R G S K I L P L S G V E Y S K K V M E N C V A 120
 415 CACATGAAGTCTGGGACTTACGGTGATGCTGAAGCCGAGCCATTGAAAAGTTGCTGAAGCCTCAAG
 H M K S V G T Y G D A E A A A I E K F A E A F K 144
 487 AATGTGAATTCCAACCCGGTGCCTCTGTTCTACAGGCAATCACCTGATGGAGTATTGGGCTTAGTTTC
 N V N F Q P G A S V F Y R Q S P D G V L G L S F 168
 559 TCTGAAGATGCAACAATACCAGACAATGAGGCTGCACTGATAGAGAACAAAGGCTGTGTCAGCGGAGTGTG
 S E D A T I P D N E A A V I E N K A V S A A V L 192
 631 GAGACCATGATTGGCGAACACGCTGTTCCCTGACTTAAACCGAGTTGGCTTCACGATTGCGCTGCTGTA
 E T M I G E H A V S P D L K R S L A S R L P A V 216
 703 TTGAGCCACGGCATTATAGTCTGAGTTGAGGGAAAGTGAT
 L S H G I I V * 223

图 3 粉葛 PtCHI 基因的 cDNA 序列及推测的氨基酸序列

Fig. 3 cDNA sequence and deduced amino acid sequence of PtCHI gene in *Pueraria montana* var. *thomsonii*

不同部位不同小写字母表示差异达显著水平 ($P<0.05$)。
Different lowercase letters in different parts represent significant differences ($P<0.05$)。

图 4 CHI 基因在不同部位的表达量

Fig. 4 Expression of CHI genes in different parts

分分别是 0.969 和 0.964;其次是位于 29 位和 203 位的丝氨酸,得分分别为 0.901 和 0.902;接着是第 26 位的丝氨酸、44 位的苏氨酸、101 位的丝氨酸和 112 位的丝氨酸,得分分别为 0.894、0.863、0.844、0.827(图 7)。

2.3.4 PtCHI 的遗传进化树分析 通过 MEGA 7.0 软件构建 PtCHI 的氨基酸系统发育进化树,结果表明 11 个物种被分为两大类,其中粉葛品种‘桂葛 1 号’和野葛品种‘桂葛 8 号’、大豆(*Glycine max*)、乌拉尔甘草(*Glycyrrhiza uralensis*)、刺毛黧豆(*Mucuna pruriens*)和密花豆(*Spatholobus suberectus*)为一组,而菜豆(*Phaseolus vulgaris*)、绿豆(*Vigna radiata*)和豇豆(*V. unguiculata*)为一组,鸡母珠(*Abrus precatorius*)和拟南芥(*Arabidopsis thaliana*)为一组。这说明粉葛品种‘桂葛 1 号’与野葛品种‘桂葛 8 号’、大豆和乌拉尔甘草的亲缘关系较近(图 8)。

2.3.5 PtCHI 蛋白互作关系预测 利用 STRING 在线工具并以大豆蛋白库分析大豆 CHI 的互作关系,预测结果显示,CHI 蛋白与黄烷酮 3-羟化酶 F3H2、F3H(属于铁/抗坏血酸依赖的氧化还原酶家族,与植物类黄酮化合物花青素和原花青素的积累相关的互作分数较高,均为 0.994;其次是 CHI 蛋白与对-香豆酰 CoA 连接酶 4CL4(属于 ATP 依赖的 AMP 结合酶家族,与植物木质素合成密切相关)的互作分数为 0.980。此外,CHI 蛋白与二氢黄酮醇还原酶

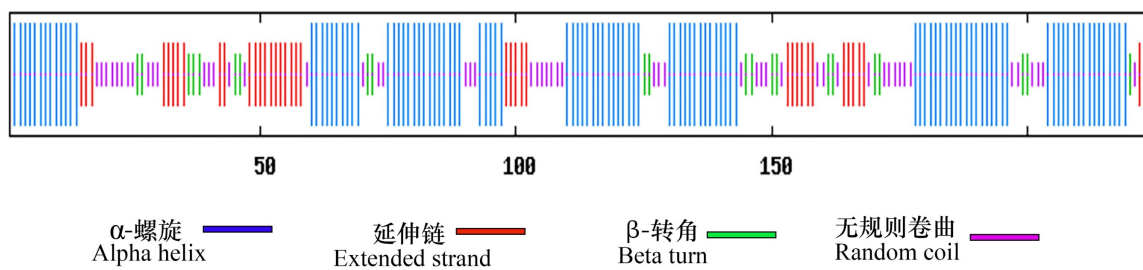


图 5 PtCHI 蛋白的二级结构预测
Fig. 5 Secondary structure prediction of PtCHI protein

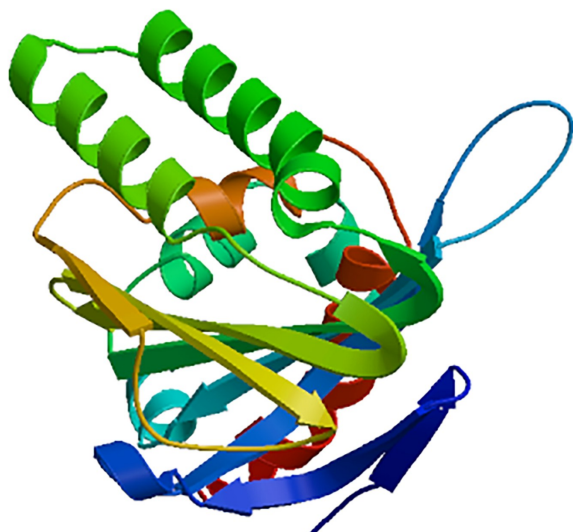


图 6 PtCHI 蛋白的三级结构预测
Fig. 6 Tertiary structure prediction of PtCHI protein

DFR2(与花色苷积累相关)互作,互作分为数为0.974;还与SF3'H1(属于细胞色素P450家族,与花青素积累相关)及查尔酮合成酶chs8(属于查尔酮/二苯乙烯合成酶家族,与植物查尔酮类化合物积累、花色素形成及植物防御相关)发生互作,互作分为数分别为0.956、0.952(图9)。

2.4 原核表达分析

2.4.1 原核表达载体构建 由图10:A可知,在表1特异引物下,经PCR扩增后,分别获得约669 bp的产物,与目的基因大小相符。将扩增产物与线性化的pet28a载体进行重组反应,并转化至DH5 α 。提取质粒,分别用限制性内切酶Xho I、Spe I酶切,结果如图10:B所示,分别在大小约5 300 bp和669 bp处各有一明亮条带。将测序正确的质粒转化至

BL21感受态细胞,经PCR再次验证,证明目的基因已成功连接至载体(图10:C)。这说明获得了含pet28a-PtCHI重组质粒的原核表达菌株。

2.4.2 重组蛋白诱导表达 将含有pet28a-PtCHI重组质粒的菌株,在0.5 mmol·L⁻¹ IPTG条件下置于16℃和30℃环境中培养,在30 kD处有特异蛋白条带出现,与目的蛋白大小相符,而无IPTG诱导时无此特异性蛋白条带,表明pet28a-PtCHI蛋白在BL21表达菌株中被成功诱导表达。其中,SDS-PAGE检测结果表明,高温诱导下上清液中存在较少的可溶性蛋白,表明低温能够促进该蛋白的可溶性表达(图11)。

2.4.3 重组蛋白的纯化及浓度测定 由于镍离子能够与蛋白组氨酸中的咪唑环结合,因此利用镍离子金属螯合亲和层析介质(Ni-NTA)能够吸附含组氨酸的蛋白质。通过增加流动相咪唑的浓度,可将蛋白进行替换洗脱,从而达到分离纯化蛋白的目的。由图12可知,采用镍亲和层析法能够对PtCHI重组蛋白进行有效的分离纯化。当咪唑浓度(20~100 mmol·L⁻¹)较低时,杂蛋白被去除,浓度在120 mmol·L⁻¹以上时目的蛋白被替换洗脱。当咪唑浓度提高至160 mmol·L⁻¹时,蛋白条带较为单一,表明此时蛋白纯度较高。将纯度高的蛋白进行buffer置换,测得其PtCHI蛋白浓度为6.39 μ g· μ L⁻¹。

2.4.4 纯化蛋白的Western blot验证 由于pet28a载体质粒上带有组氨酸标签,因此可以用His抗体对纯化蛋白进行Western blot验证。由图13可知,经曝光后,PtCHI在PVDF膜上约27.8 kD处有目的蛋白条带出现。对不同蛋白上样量均检测到特异的蛋白条带,进一步证实分离纯化的蛋白为PtCHI蛋白。

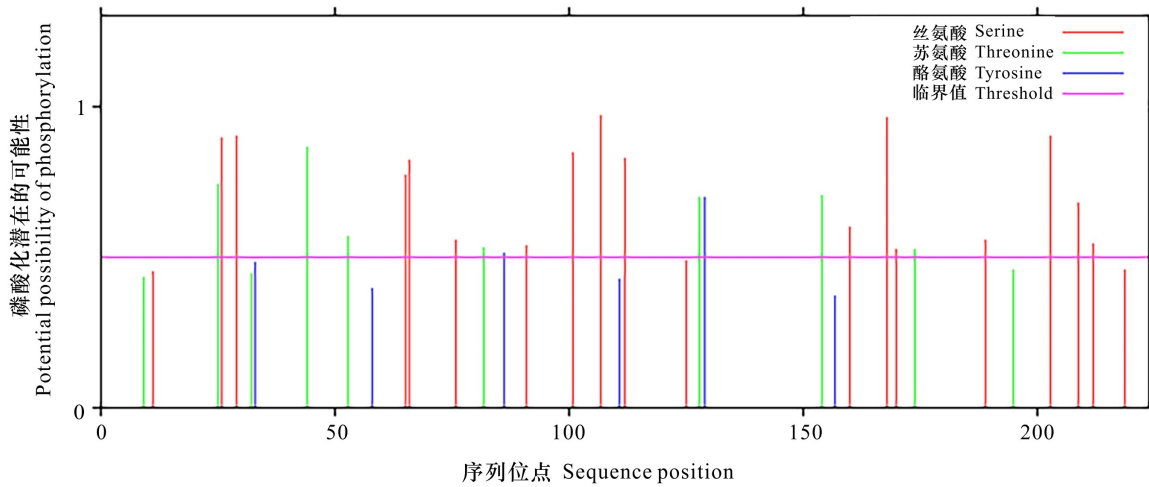


图 7 PtCHI 蛋白的磷酸化位点预测

Fig. 7 Phosphorylation site prediction of PtCHI protein

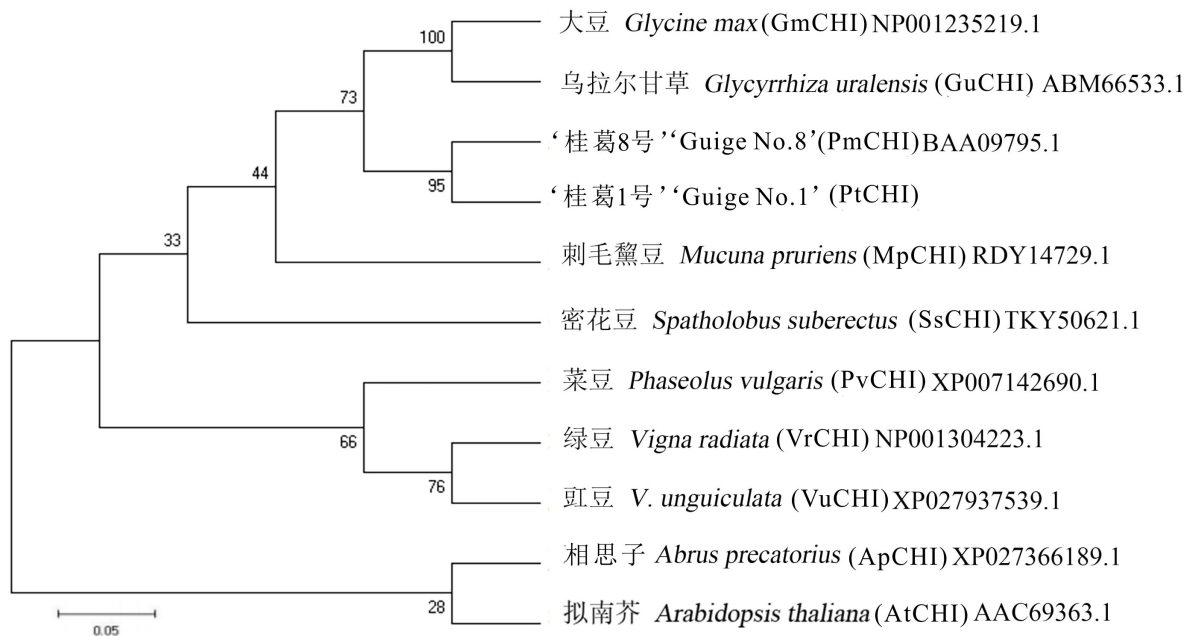


图 8 PtCHI 氨基酸序列的系统进化树

Fig. 8 Phylogenetic analysis of PtCHI amino acid sequence

2.5 亚细胞定位

2.5.1 亚细胞定位表达载体构建 利用表 1 中的特异引物 PtCHI-YXBF/R 进行 PCR 扩增, 经 1% 的琼脂糖凝胶电泳检测, 分别在 669 bp 处有单一条带, 与目的基因大小相一致(图 14:A)。经纯化后与

线性化载体 pSAT6-EYFP-N1 连接, 并转化至 DH5 α 感受态细胞。提取质粒经限制性内切酶 Xho I 和 Xma I 酶切验证, 结果显示分别在约 4 600 bp 和 669 bp 处各有一条带, 大小与线性化载体及目的基因大小相一致(图 14:B)。将其送测, 并把

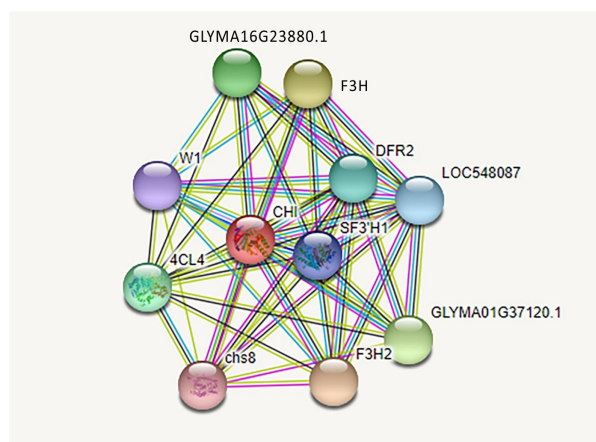


图 9 PtCHI 蛋白互作分析
Fig. 9 PtCHI protein interaction analysis

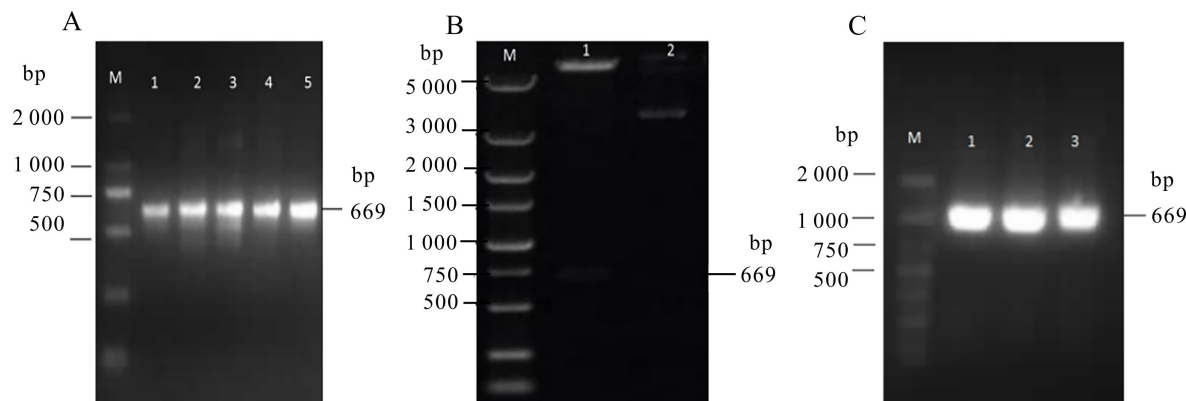
测序结果与目的基因序列一致的菌液进行扩大培养,提取其质粒用于拟南芥瞬时表达。

2.5.2 亚细胞定位分析 通过 PEG-CaCl₂ 法介导 pSAT6-EYFP-N1-PtCHI 重组质粒转化拟南芥原生质体,转化 16 h,通过激光共聚焦显微镜观察,PtCHI 的亚细胞定位结果显示,在叶绿体周围检测到由 EYFP 通路发出的绿色荧光(图 15:A)及叶绿体自发的红色荧光(图 15:B),这表明 PtCHI 基因定位于叶绿体。

3 讨论

3.1 粉葛和野葛的 CHI 基因表达与异黄酮类物质积累关系

异黄酮类物质作为葛根的主要活性成分,其



A. *PtCHI* 基因 PCR 扩增; 1-5. 扩增产物。B. 1. 重组质粒 pet28a-*PtCHI* 的双酶切产物; 2. pet28a-*PtCHI* 质粒提取。C. 重组质粒 pet28a-*PtCHI* 导入 BL21 中的 PCR 检验结果; 1-3. 扩增产物。M. DL2000 DNA 标记。

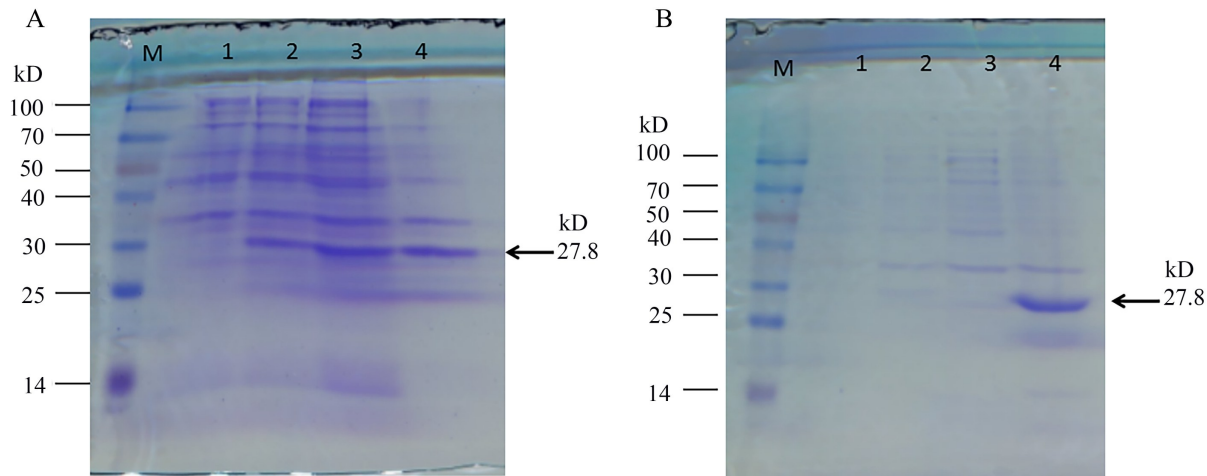
A. PCR amplification of *PtCHI*; 1-5. Amplification products. B. 1. Digestion of pet28a-*PtCHI*; 2. Plasmid DNA. C. PCR amplification of recombinant plasmid pet28a-*PtCHI*; 1-3. Amplification products. M. DL2000 DNA Marker.

图 10 原核表达载体 pet28a-*PtCHI* 的构建
Fig. 10 Construction of prokaryotic expression vector pet28a-*PtCHI*

含量高低是葛根药用价值的评判标准之一。前人的研究发现,粉葛和野葛的总黄酮含量差异悬殊,并且野葛的异黄酮类物质的含量显著高于粉葛。王新胜等(2009)对伏牛山区的野葛和粉葛的药材质量测评结果表明,野葛的水浸出物和醇浸出物含量均高于粉葛,总黄酮含量是粉葛的 3 倍,并且野葛中葛根素的平均含量是粉葛的 2.5 倍。蒙秋艳等(2020)对广西不同地区的野葛和粉葛总异黄酮含量研究结果表明,100 g 野葛粉末中总异黄酮含量[约为 5.08 g · (100 g)⁻¹]显著高于粉葛中的

总异黄酮含量[0.463 g · (100 g)⁻¹],并且野葛中的葛根素含量和大豆苷含量也高于粉葛。张静等(2017)研究发现,广西野葛的纤维素、可溶性糖、总黄酮和葛根素的含量显著高于粉葛。

查尔酮异构酶作为黄酮生物合成途径中第二大限速酶,在异黄酮类物质积累、色素合成、抗逆等方面具有重要作用(李琳玲等,2008;周发俊等,2008)。Zhang 等(2009)研究表明,在乌拉尔甘草中过表达其 *CHI* 基因,对其毛状根中总黄酮含量进行检测后发现,转基因乌拉尔甘草的毛状根中

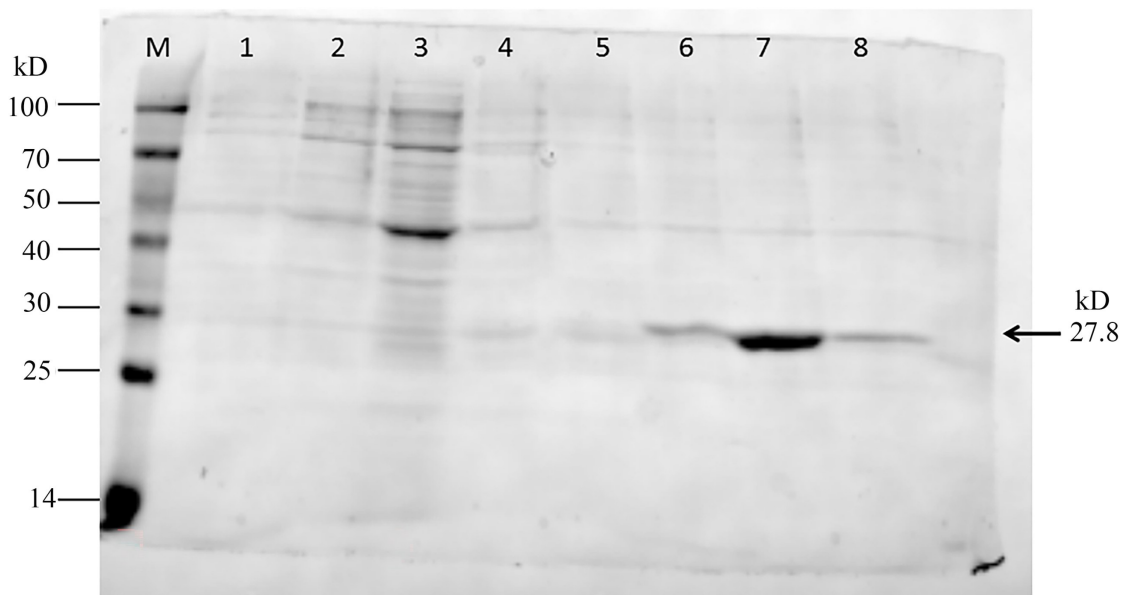


A. $16\text{ }^{\circ}\text{C}$, $100\text{ r} \cdot \text{min}^{-1}$, $0.5\text{ mol} \cdot \text{L}^{-1}$ IPTG 诱导下的 PtCHI; B. $30\text{ }^{\circ}\text{C}$, $100\text{ r} \cdot \text{min}^{-1}$, $0.5\text{ mol} \cdot \text{L}^{-1}$ IPTG 诱导下的 PtCHI; M. Protein marker; 1. 未诱导的总蛋白; 2. IPTG 诱导的总蛋白; 3. IPTG 诱导的上清液; 4. IPTG 诱导的沉淀。

A. Induction conditions are $16\text{ }^{\circ}\text{C}$, $100\text{ r} \cdot \text{min}^{-1}$, $0.5\text{ mol} \cdot \text{L}^{-1}$ IPTG of PtCHI; B. Induction conditions are $30\text{ }^{\circ}\text{C}$, $100\text{ r} \cdot \text{min}^{-1}$, $0.5\text{ mol} \cdot \text{L}^{-1}$ IPTG of PtCHI; M. Protein marker; 1. Total proteins uninduced; 2. Total proteins induced by IPTG; 3. IPTG-induced supernatant; 4. IPTG-induced precipitation.

图 11 PtCHI 原核表达蛋白的 SDS-PAGE 电泳分析

Fig. 11 SDS-PAGE electrophoresis analysis of prokaryotic expression protein of PtCHI



M. Protein marker; 1. 流出液; 2. $20\text{ mmol} \cdot \text{L}^{-1}$ 咪唑; 3. $40\text{ mmol} \cdot \text{L}^{-1}$ 咪唑; 4. $80\text{ mmol} \cdot \text{L}^{-1}$ 咪唑; 5. $100\text{ mmol} \cdot \text{L}^{-1}$ 咪唑; 6. $120\text{ mmol} \cdot \text{L}^{-1}$ 咪唑; 7. $160\text{ mmol} \cdot \text{L}^{-1}$ 咪唑; 8. $200\text{ mmol} \cdot \text{L}^{-1}$ 咪唑。

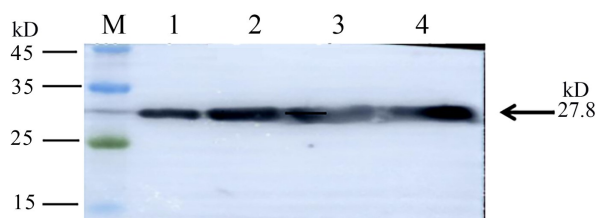
M. Protein marker; 1. Eluate; 2. $20\text{ mmol} \cdot \text{L}^{-1}$ imidazole; 3. $40\text{ mmol} \cdot \text{L}^{-1}$ imidazole; 4. $80\text{ mmol} \cdot \text{L}^{-1}$ imidazole; 5. $100\text{ mmol} \cdot \text{L}^{-1}$ imidazole; 6. $120\text{ mmol} \cdot \text{L}^{-1}$ imidazole; 7. $160\text{ mmol} \cdot \text{L}^{-1}$ imidazole; 8. $200\text{ mmol} \cdot \text{L}^{-1}$ imidazole.

图 12 PtCHI 重组蛋白的纯化

Fig. 12 Purification of PtCHI recombinant protein

总黄酮含量 [$1.394\text{ g} \cdot (100\text{ g})^{-1}$] 显著高于野生型毛状根中的含量 [$0.842\text{ g} \cdot (100\text{ g})^{-1}$]；同时，发现

在 2% PEG8000 和 0.1% 酵母提取物共处理下能显著提高转基因乌拉尔甘草毛状根中的总黄酮含量

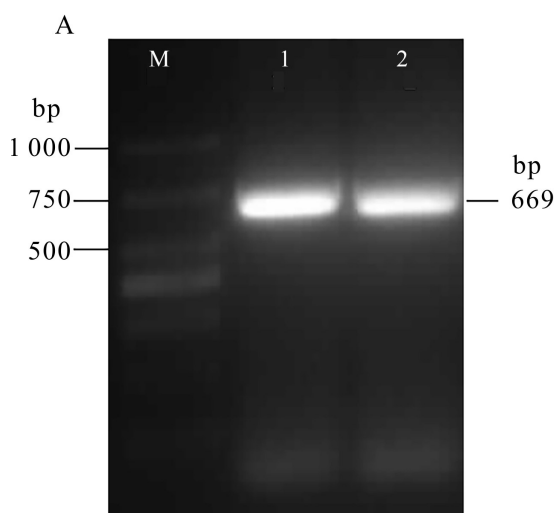


M. Protein marker; 1. 上样量 10 ng; 2. 上样量 20 ng; 3. 上样量 30 ng; 4. 上样量 50 ng。

M. Protein marker; 1. Sample loading 10 ng; 2. Sample loading 20 ng; 3. Sample loading 40 ng; 4. Sample loading 50 ng.

图 13 PtCHI 重组蛋白的 Western blot 检测

Fig. 13 Western blot test of PtCHI recombinant protein

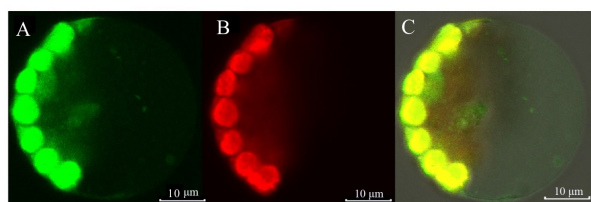


A. *PtCHI* 基因 PCR 扩增; B. 重组质粒 pSAT6-EYFP-N1-*PtCHI* 的双酶切产物。

A. PCR amplification of *PtCHI*; B. Digestion product of pSAT6-EYFP-N1-*PtCHI*.

图 14 构建亚细胞定位重组质粒

Fig. 14 Construction of subcellular localization recombinant plasmid



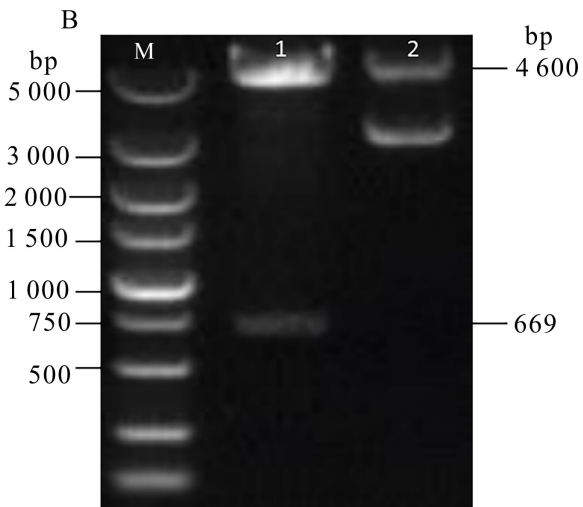
A. YFP 通道绿色荧光; B. Chloroplast 自发荧光; C. Merge。
A. YFP channel green fluorescence; B. Chloroplast autofluorescence; C. Merge.

图 15 *PtCHI* 的亚细胞定位

Fig. 15 Subcellular localization of *PtCHI*

葛根中的 *CHI* 基因与总黄酮及葛根素的积累存在密切联系。这对后续粉葛品质改良以提高其药效

[$2.838 \text{ g} \cdot (100 \text{ g})^{-1}$] 和机体内 *CHI* 基因的转录水平 (Zhang et al., 2009)。Vu 等 (2018) 对改善土人参 [*Talinum paniculatum* (Jacq.) Gaertn.] 总黄酮含量低的研究结果发现, 在土人参中过量表达大豆的 *GmCHI* 基因, 会使得转基因土人参中总黄酮含量 ($2.74 \text{ mg} \cdot \text{g}^{-1}$ 和 $4.24 \text{ mg} \cdot \text{g}^{-1}$) 比非转基因株系显著提高 4.8~7.4 倍。本研究发现, 野葛中的葛根素含量和总黄酮含量均高于粉葛, 与前人的研究结果相一致。同时还发现, *CHI* 基因的表达量在野葛的根和茎中均显著高于粉葛, 前人在乌拉尔甘草和土人参的研究中也发现, 过表达 *CHI* 基因均能提高植株体内的总黄酮含量。由此推测,



成分具有重要的参考价值。

3.2 野葛和粉葛的 *CHI* 基因结构差异与异黄酮类物质积累关系

同一基因常会因结构存在差异而使其行使的功能或受到胁迫的表现有所不同 (刘玉成等, 2019)。娄文月等 (2021) 在甘蔗研究中发现, *ScJAZ* 基因家族中 *ScJAZ22*、*ScJAZ24* 和 *ScJAZ30* 基因结构、氨基酸数量和相对分子质量差异较大, 这 3 个基因在叶枯萎病侵染抗叶枯萎病品种 ROC22 的早期呈现不同的表达量, 其中 *ScJAZ22* 基因的表达量下调, 而 *ScJAZ24* 和 *ScJAZ30* 的表达量却上调。Dong 等 (2021) 在白梨中鉴定出 197 个 *bHLH* 基因, 其基因结构和编码的氨基酸数量以

及外显子数量都存在差异,在冷处理和热处理下,*PbrbHLH7*、*PbrbHLH8*、*PbrbHLH128*、*PbrbHLH160*、*PbrbHLH161* 和 *PbrbHLH195* 的表达量均上调,而其他成员的表达量则无显著变化。这说明同一家族的基因,当其基因结构相互之间存在差异时,每个基因所表现出来的功能都会有所不同。

本研究结果表明,所克隆的粉葛 *PtCHI* 基因 ORF 框长 672 bp,推导编码 223 个氨基酸,与 Yoshiya 等(1996)在野葛中克隆的 *PmCHI* 的 ORF 框 675 bp 相差 3 bp,编码的氨基酸也相差 1 个。粉葛和野葛中的 *CHI* 基因 ORF 框长度和所编码的氨基酸数量存在差异,并且该基因在野葛和粉葛中的表达量差异显著,这与前人在甘蔗和白梨中的研究结果相似。两者的功能是否会存在差异,以及是不是引起野葛和粉葛的黄酮含量差异的原因还有待进一步挖掘。

3.3 粉葛 *PtCHI* 基因亚细胞定位、互作关系与异黄酮类物质积累关系

本研究获得的粉葛 *PtCHI* 的氨基酸序列与野葛、大豆、乌拉尔甘草的 *CHI* 亲缘关系较近。*CHS* 和 *CHI* 发生互作在水稻、拟南芥、江南卷柏和小立碗藓等植物中已有报道(Ban et al., 2018)。Fujino 等(2018)研究发现金鱼草 *AmCHS* 和 *AmCHI* 定位于内质网和细胞核且 *CHI* 能与 *CHS*、*FNS II*、*F3H* 及 *DFR* 发生蛋白互作,使 β -半乳糖苷酶活性显著提高。Ban 等(2018)研究表明,啤酒花 *CHIL2* 和 *CHS_H1* 均定位于细胞质中且能发生互作,在酵母中 *CHS_H1/CHIL2* 共表达提高了代谢产物黄腐酚含量和槲皮素查尔酮含量,比单独表达时提高 1.4 倍和 1.5 倍。Waki 等(2016)研究发现大豆 *GmIFS* 与 *GmCHS1*、*GmCHS7*、*GmCHI1A*、*GmCHI1B2* 和 *GmCHI2* 发生互作,其中 *GmIFS* 与 *GmCHI* 的互作强于 *GmCHS*;在同等条件下, *GmIFS* 与 *GmCHI* 共表达时的 β -半乳糖苷酶的活性也高于 *GmCHS*。Dastmalchi 等(2016)研究发现大豆 *GmIFS1/GmIFS2* 与 *GmCHR14*、*GmCHI2*、*GmCHS7*、*GmCHS8* 均在细胞质中发生互作,其中 *GmIFS2* 和 *GmCHR14* 互作时发出的荧光最强,与 *GmCHS7/GmCHS8* 的互作最弱。本研究结果表明,葛根 *PtCHI* 仅定位于细胞质的叶绿体上,与前人研究结果不一致,可能是因研究物种不同而导致定位结果存在差异,本研究预测粉葛 *CHI* 与 *CHS*、*F3H* 和 *DFR2* 互作,预测结果与前人在其他作物上的研究结果大体一致,这些互作蛋

白都与花青素、花色素、木质素积累密切相关,但未检测到 *PtCHI* 蛋白与 *PtIFS* 存在互作关系。基因之间是否存在 *CHI* 底物的竞争,从而导致 *PtIFS* 与 *CHI* 互作极低,进而导致粉葛异黄酮生物合成低还有待下一步深入研究。

参考文献:

- BAN ZN, QIN H, MITCHELL AJ, et al., 2018. Noncatalytic chalcone isomerase-fold proteins in *Humulus lupulus* are auxiliary components in prenylated flavonoid biosynthesis [J]. Proc Natl Acad Sci USA, 115(22): E5223-E5232.
- CHU JM, MA SY, LI HF, et al., 2015. Progress in effective components and pharmacological effects of *Puerariae Lobatae Radix* [J]. Food Drug, 17(2): 142-146. [楚纪明, 马树运, 李海峰, 等, 2015. 葛根有效成分及其药理作用研究进展 [J]. 食品与药品, 17(2): 142-146.]
- DASTMALCHI M, BERNARDS MA, DHAUBHADEL S, et al., 2016. Twin anchors of the soybean isoflavonoid metabolon: evidence for tethering of the complex to the endoplasmic reticulum by IFS and C4H [J]. Plant J, 85(6): 689-706.
- DONG HZ, CHEN QM, DAI YQ, et al., 2021. Genome-wide identification of *PbrbHLH* family genes, and expression analysis in response to drought and cold stresses in pear (*Pyrus bretschneideri*) [J]. BMC Plant Biol, 21(1): 86.
- Editorial Committee of the Chinese Academy of Sciences, 1995. Flora of China: Vol. 41 [M]. Beijing: Science Press; 219. [中国科学院中国植物志编辑委员会, 1995. 中国植物志: 第 41 卷 [M]. 北京: 科学出版社; 219.]
- FUJINO N, TENMA N, WAKI T, et al., 2018. Physical interactions among flavonoid enzymes in snapdragon and torenia reveal the diversity in the flavonoid metabolon organization of different plant species [J]. Plant J, 94(2): 372-392.
- GUO JY, 2011. Cloning and function analysis of chalcone isomerase gene from purple-fleshed sweet potato [*Ipomoea batatas* (L.) Lamarek] [D]. Chongqing: Southwest University: 63-83. [郭晋雅, 2011. 紫心甘薯查尔酮异构酶基因的克隆及其功能分析 [D]. 重庆: 西南大学: 63-83.]
- GUO DD, 2019. Characterization and function study of key genes involved in flavonoid biosynthetic pathway in *Carthamus tinctorius* L. [D]. Shanghai: Naval Medical University: 61-62. [郭丹丹, 2019. 红花黄酮类成分生物合成途径关键基因的特征和功能研究 [D]. 上海: 中国人民解放军海军军医大学: 61-62.]
- HE ZM, 2018. Cloning and function verification of chalcone isomerase gene *GmCHI4A* and *GmCHI4B* in soybean [D]. Changchun: Jilin University: 46-56. [何则铭, 2018. 大豆查尔酮异构酶 *GmCHI4A* 和 *GmCHI4B* 基因的克隆及功能验证 [D]. 长春: 吉林大学: 46-56.]
- HE CY, GAN L, YAN MJ, et al., 2018. Cloning, functional and expression analysis of chalcone synthase gene *PpCHS1* in *Kentucky bluegrass* [J]. Chin J Grassland, 40(4): 8-

15. [何春艳, 甘露, 闫蒙举, 等, 2018. 草地早熟禾查尔酮合成酶基因 *PpCHS1* 克隆、功能与表达分析 [J]. 中国草地学报, 40(4): 8–15.]
- LI GH, FU M, LUO WL, et al., 2021. Comprehensive analysis of the nutritional quality of *Pueraria montana* [J]. *Guangdong Agric Sci*, 48(9): 72–80. [李桂花, 符梅, 罗文龙, 等, 2021. 粉葛资源营养品质综合分析 [J]. 广东农业科学, 48(9): 72–80.]
- LI LL, CHENG H, XU F, et al., 2008. Progress of chalcone isomerase in plants [J]. *Lett Biotechnol*, 19(6): 935–937. [李琳玲, 程华, 许锋, 等, 2008. 植物查尔酮异构酶研究进展 [J]. 生物技术通讯, 19(6): 935–937.]
- LI HY, 2019. Cloning and function analysis of the key enzyme genes involved in the flavonoids biosynthesis in *Salvia miltiorrhiza* [D]. Xianyang: Northwest A & F University: 48–49. [李红艳, 2019. 丹参类黄酮合成途径关键酶基因的克隆与功能分析 [D]. 咸阳: 西北农林科技大学: 48–49.]
- LING LJ, 2016. Molecular cloning and characterization of chalcone isomerase genes in *Freesia hybrida* [D]. Changchun: Northeast Normal University: 7–9. [梁瓴婕, 2016. 香雪兰查尔酮异构酶基因家族的克隆及功能分析 [D]. 长春: 东北师范大学: 7–9.]
- LI ZF, WU RF, 2008. Study on extracting total puerarin flavonoids [J]. *Appl Chem Ind*, 37(11): 1353–1355. [李增富, 吴荣峰, 2008. 葛根总黄酮的提取研究 [J]. 应用化工, 37(11): 1353–1355.]
- LIU YC, ZHANG C, DONG B, et al., 2019. Advances of CCD subfamily in higher plants [J]. *J Agric Biotechnol*, 27(4): 720–734. [刘玉成, 张超, 董彬, 等, 2019. 高等植物 CCD 亚家族基因研究进展 [J]. 农业生物技术学报, 27(4): 720–734.]
- LOU WY, SUN TT, CEN GL, et al., 2021. Identification and expression analysis of the sugarcane *ScJAZ* gene family based on transcriptome [J]. *Mol Plant Breed*, 19(7): 2142–2155. [娄文月, 孙婷婷, 岑光莉, 等, 2021. 基于转录组的甘蔗 *ScJAZ* 基因家族鉴定及表达分析 [J]. 分子植物育种, 19(7): 2142–2155.]
- MA Z, 2018. Research progress of key enzyme chalcone synthase in flower color formation of ornamental plants [J]. *For Ecol Sci*, 33(1): 7–10. [马喆, 2018. 观赏植物花色形成关键酶查尔酮合成酶研究进展 [J]. 林业与生态科学, 33(1): 7–10.]
- MENG QY, HUANG JZ, LING YL, et al., 2020. Comparison of polysaccharides and isoflavones in *Pueraria thomsonii* and *Pueraria montana* from different producing areas of Guangxi [J]. *Food Res Dev*, 41(21): 43–49. [蒙秋艳, 黄靖洲, 梁艳玲, 等, 2020. 广西不同产地粉葛、野葛的多糖和异黄酮含量比较 [J]. 食品研究与开发, 41(21): 43–49.]
- SHANG XH, CAO S, YAN HB, et al., 2021. Development status and countermeasures of *Pueraria montana* (Willd.) Ohwi var. *thomsonii* (Benth.) van der Maesen industry in Guangxi [J]. *J S Agric*, 52(6): 1510–1519. [尚小红, 曹升, 严华兵, 等, 2021. 广西粉葛产业现状分析及其发展建议 [J]. 南方农业学报, 52(6): 1510–1519.]
- TERAI Y, FUJII I, BYUN SH, et al., 1996. Cloning of chalcone-flavanone isomerase cDNA from *Pueraria lobata* and its overexpression in *Escherichia coli* [J]. *Protein Expr Purif*, 8(2): 183–190.
- VU TNT, LE THT, HOANG PH, et al., 2018. Overexpression of the *Glycine max chalcone isomerase (GmCHI)* gene in transgenic *Talinum paniculatum* plants [J]. *Turk J Bot*, 42(5): 551–558.
- WANG Y, XU F, CHENG SY, 2007. Research progress in molecular biology of plant chalcone synthase [J]. *J Henan Agric Sci*, (8): 5–9. [王燕, 许锋, 程水源, 2007. 植物查尔酮合酶分子生物学研究进展 [J]. 河南农业科学, (8): 5–9.]
- WANG XS, WU YF, ZHANG YP, et al., 2009. Quality evaluation of *Pueraria lobata* (Willd.) Ohwi and *Pueraria thomsonii* Benth. from Funiu Mountain [J]. *J Henan Univ Sci Technol (Nat Sci Ed)*, 30(5): 67–69. [王新胜, 吴艳芳, 张延萍, 等, 2009. 伏牛山区野葛与粉葛药材质量综合研究 [J]. 河南科技大学学报(自然科学版), 30(5): 67–69.]
- WAKI T, YOO D, FUJINO N, et al., 2016. Identification of protein-protein interactions of isoflavanoid biosynthetic enzymes with 2-hydroxyisoflavanone synthase in soybean (*Glycine max* (L.) Merr.) [J]. *Biochem Biophys Res Commun*, 469(3): 546–551.
- XIA F, LI HH, FU CX, et al., 2011. Cloning, expression and characterization of chalcone synthase from *Saussurea medusa* [J]. *Chin J Biotechnol*, 27(9): 363–370. [夏芳, 李厚华, 付春祥, 等, 2011. 水母雪莲查尔酮合酶基因的克隆、表达及酶活分析 [J]. 生物工程学报, 27(9): 363–370.]
- YU QH, DU YQ, SUN QH, et al., 2021. Research progress on antipyretic and antiviral effects of Yege (*Pueraria lobata*) and Fenge (*Pueraria thomsonii* Benth.) based on efficacy and material basis [J]. *Chin Arch Trad Chin Med*, 39(9): 89–94. [于钦辉, 杜以晴, 孙启慧, 等, 2021. 基于功效和物质基础的野葛、粉葛解热和抗病毒作用研究进展 [J]. 中华中医药学刊, 39(9): 89–94.]
- YU JB, LI YT, ZHANG J, et al., 2021. Cloning and construction of plant expression vector of chalcone synthase gene *PtCHS* in *Pueraria montana* var. *thomsonii* [J]. *Mol Plant Breed*, 19(4): 1143–1149. [羽健宾, 李钰婷, 张静, 等, 2021. 粉葛查尔酮合成酶基因 *PtCHS* 的克隆与植物表达载体构建 [J]. 分子植物育种, 19(4): 1143–1149.]
- ZOU FJ, WANG YQ, CHEN YQ, 2008. Progress of plant chalcone isomerase (summary) [J]. *J Hebei Norm Univ Sci Technol*, 22(1): 73–77. [周发俊, 王逸群, 陈由强, 2008. 植物查尔酮合酶分子生物学研究进展(综述) [J]. 河北科技师范学院学报, 22(1): 73–77.]
- ZHANG DQ, TAN XF, WANG XH, 2007. Gene characteristics and transgenic application of chalcone synthase and chalcone isomerase [J]. *J Cent S Univ For Technol*, 27(2): 87–91. [张党权, 谭晓风, 王晓红, 2007. 查尔酮合酶与查尔酮异构酶基因特征及转基因应用 [J]. 中南林业科技大学学报, 27(2): 87–91.]
- ZHANG HC, LIU JM, LU HY, et al., 2009. Enhanced flavonoid production in hairy root cultures of *Glycyrrhiza uralensis* Fisch by combining the over-expression of chalcone isomerase gene with the elicitation treatment [J]. *Plant Cell Rep*, 28(8): 1205–1213.